

II-12 半導体レーザ及びオートフィルターを用いたLDVシステムの試作

北海道大学工学部	正会員 吉田 静男
北海道大学工学部	学生会員 藤沢 巨彦
北海道大学工学部	正会員 田城 錠雄
日本気象協会北海道本部	正会員 八木 実郎

1.はじめに

現在、室内水路において乱流構造の解明は盛んに行なわれており、ある程度の知見が得られている。室内水路では、各種計測を比較的容易に行なうことができるためである。とりわけ、流速測定では従来の熱膜流速計や最近実用化されたプローブ型LDV (Laser Doppler Velocimeter) により、すぐれた周波数特性の測定がなされている。しかし、実河川においては、室内水路と同程度の流速データはほとんど得られていない。これは、フィールド観測に用いられている流速計の周波数特性に問題があるためである。そこで、著者らはプローブ型LDVの構造に注目し、フィールド用LDVの試作を行なった。その結果、問題点はいくつもあるものの、従来の流速計に比べS/N比がきわめて良好で、室内水路と同程度の流速測定を可能にした。¹⁾今回、著者らは半導体レーザに着目し、送光部に半導体レーザを、また受光部にフォトダイオードを用い、ダイレクト測光にすることを考えた。この方式を採用すると光ファイバを用いる必要がなくなり、光強度の調節が不要になる。あわせて、バンドパスフィルターに中央周波数自動選別機能を持たせたオートフィルターを試作し、今までのバンドパス周波数選定のチャンネル操作を不要にした。

本論文では、初めに、半導体レーザを用いたLDVの設計仕様について概説し、周波数に依存しない特性を示している室内水路における熱膜流速計との比較、またフィールド観測用として一般に使用されているCM-2型電気流速計との異同について述べる。次に、実河川での測定結果について報告し、最後にCM-2型電気流速計の周波数特性に関して考察する。

2. 装置の構成

1) LDVシステム

今回製作したフィールド用LDVの概要を図-1に示す。既報²⁾のLDVとの大きな違いは、光ファイバを使っておらず半導体レーザとフォトダイオードを用いてダイレクト測光とした点にあり、強信号が得られた。信号はプローブ部から電気的に処理系に伝送される。図-2にはLDVの光学系を示してある。測定原理としては参照光法を用いた。半導体レーザから発光したレーザ光は、凸レンズと球レンズによって細いビームにされ、厚さ3.5mmのハーフミラーによって二つのレーザ光に分けられる。ガラス表面で反射したレーザ光が参照光として、ミラー面で反射したレーザ光が散乱光として用いられる。これら二つのレーザ光は送光部先端の凸レンズにより受光部とはほぼ中央の位置で交差させられる。この交差点を通過する液体粒子によって、散乱光が散乱されドップラー効果を受ける。このドップラー効果を受けた散乱光が、参照光と重なることによりビートが生じ、この光波が受光部で検出される。ビート周波数がドップラーシフト量に等しいため、次式により流速値が得られる。

$$U = \lambda / 2n \sin \frac{\theta}{2} \cdot v_f \quad (2.1)$$

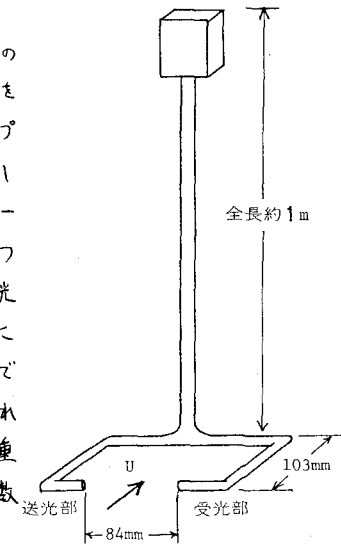


図-1 半導体LDV概念図

ここで、 λ はレーザ光の波長、 n は媒質の屈折率、 θ は二本のレーザ光の交差角、 v_0 はドップラーシフト量である。半導体レーザの波長780 nm、水の屈折率1.33、レーザ光の交差角4.20°を代入すると(2.1)式は

$$U(cm/sec) = 0.80 \sqrt{v_0} (kHz) \quad (2.2)$$

となる。また、レーザ光源としては3mWの半導体レーザを用いた。

信号処理にはカウンタータイプの信号処理機を使用している。信号処理にあたっては、光信号の特性上バンドパスフィルターの適切な選定が要求されたが、オートフィルターが自動的にバンドパスフィルターの中央周波数を選定してくれる所以で、信号のS/N比が向上した。しかし、このオートフィルターは室内水路用に試作されたもので、ドップラーレーザに対する適用周波数範囲が4.0 kHz以内の流速に限られているため、フィールドでは使用できなかった。

2). 熱膜流速計の概要

金属細線に電流を流し加熱して流体中に入れると、線の温度は電流による発熱量と流れによる放熱量とがある平衡温度で釣り合う。この平衡温度は流速によって変わり、それに伴い線の電気抵抗も変化する。このように熱膜流速計は加熱された金属線が、流れの冷却作用により抵抗を変える性質を利用して流速を求めるのである。その特性としては、低流速域から高流速域に到る広い測定範囲を持つこと、センサーが極めて小さく、点測定が可能であり、周波数応答がすぐれている等が挙げられ、流体計測の分野では確固とした位置付けがなされている。しかし、それに弱い、センサーコードを長くできない、センサー部の発熱により気泡が発生し、しばしば測定不能に陥る等の理由から、フィールド観測用としての使用には適していない。

熱膜流速計は、流速値と出力電圧の関係が

$$U = (\frac{V^2 - V_0^2}{K})^\alpha \quad (2.3)$$

となる。ただし、 U は流速値、 V は出力電圧、 V_0 は流速値が0のときの出力電圧、 K は任意定数とする。上式の定数は一意に確定せず、測定ごとに近似化しなければならない。本測定では、信号処理器を通して得られた出力の平均値をLDVより求めた流速値を用いることにより校正した。なお、熱膜流速計の周波数特性については、後述する。

3). CM-2型電気流速計の概要

CM-2型電気流速計は、流体中に置かれたプロペラが流水により回転し、その回転運動を軸端のマグネットカップリングを介して、特殊小型発電機の電機子を回転させ、これによって得られる電気的出力を流速値として指示するものである。全長は55 cm、直徑は16 cm、重量は16.5 kgであり、原理上、直徑程度以下のスケールの乱れは測定できない。

3. LDVの特性及び、熱膜流速計とCM-2型電気流速計の周波数特性

1). 熱膜流速計とフィールド用LDVの比較

前回試作したフィールド用LDVは熱膜流速計との比較測定により、その周波数特性が熱膜流速計とほぼ同じであることが検証された。そこで、今回も試作したフィールド用LDVの性能を検定するために熱膜流速計との比較を行った。測定は、河口二層流型水理模型の幅50 cm、全水深9.6 cm、全長8 mの水路部で行った。測定点の水深は、表面下4.4 cmで、LDVの被測定点の0.5 cm下流に熱膜流速計のプローブを設置した。このとき、平均流速は毎秒約2 cmで、流速変動を起すために約5 m上流で人為的な擾乱を与えた。また、低流速であったのでオートフィルターを用いて信号を処理した。

図-3にはフィールド用LDV、図-4には熱膜流速計の測定結果を示してある。図-3(a)、図-4(a)は、流

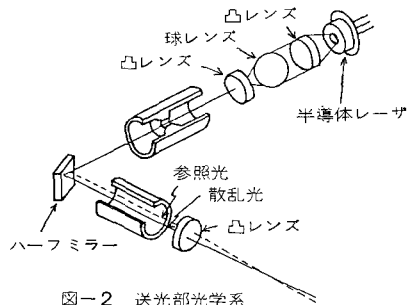


図-2 送光部光学系

速変動のデータである。FFT法により計算されたパワースペクトルは図-3(b)、図-4(b)に示してある。

このとき、若干の平滑化を行っている。図-3(c)、図-4(c)には流速値の確率密度分布を示す。両者の測定点が同じではないので、完全な一致は期待できないが、

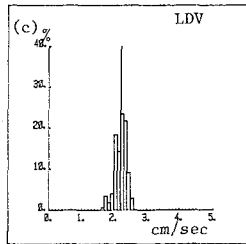
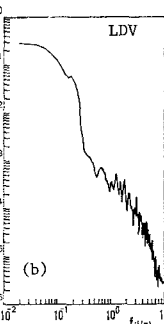
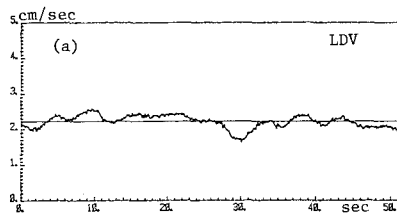


図-3 フィールド用LDV

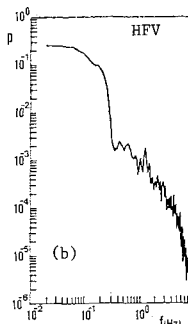
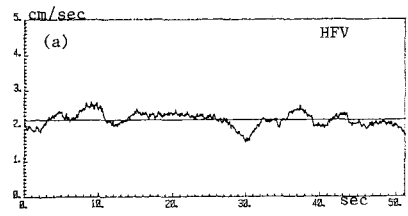


図-4 熱膜流速計

流速変動のデータはよく一致しており、パワースペクトルは 0.2 Hz , 0.7 Hz , 1.5 Hz , 2.0 Hz などに対応するスペクトルピークが見られる。ただし、 2 Hz 付近のピークに関しては、LDVの方が明確で、熱膜流速計ではあまり顕著に現れていない。また、流速変動が人為的な波により、平均流速を中心に低流速域と高流速域に分かれしており、それが図-3(c)に二つのピークとして現れている。図-4(c)にそれがはっきりとみられないのは、ノイズによるものである。この原因としては、LDVに比べて熱膜流速計の電気的出力が微弱であるにもかかわらず、LDVと同じ出力レベルでA/D変換しているため、ノイズと信号を明確に分離できないからである。本来ならば、熱膜流速計の出力レベルに適したA/D変換装置を使用することが望ましい。しかししながら、両者の測定結果はよく一致しており、フィールド用LDVは室内水路において要求されている周波数応答を持つことがわかった。

2). CM-2型電気流速計とフィールド用LDVの比較。

測定は、石狩川の支流である幌向川中流で行なった。測定地点での水深は約50cmで、河幅は約12m。主流の流速は毎秒60~70cmほどであった。測定方法は、それぞれの流速計を三脚に固定して、静止系より行なった。

図-5、図-6はLDV、図-7、図-8はCM-2型電気流速計の測定結果である。図-5、図-6は低流速域での結果で、この時、CM-2型電気流速計はLDVより1m下流に設置されている。これに対し、図-7、図-8は高流速域での測定結果で、この時、CM-2型電気流速計はLDVより0.4m下流に設置されている。図-5と図-6、図-7と図-8は互いに同時に計測されたものである。測定は、すべて表面下10cmで行なわれた。今回は、長周期の流速変動についても検討するため、データのサンプリングタイムを200msecとした。

図-5(a)を見ると、 0.04 Hz 付近にスペクトルピークが現れています。また、 0.07 Hz と 0.1 Hz にピークが現れており、 0.1 Hz から 1 Hz にかけていくつかのピークが見られます。図-6(a)を見ると、先に見られた 0.04 Hz のピークは存在せず、 0.07 Hz にピークが見られます。低流速域に奥では、 0.07 Hz のように共通するスペクトルピークがいくつか存在するものの、両者にはあまり共通性は見いただせない。特に、後者は、 0.2 Hz より高周波数域の減衰が著しく $-5/3$ 乗則にあてはまらないことがわかる。図-7(a)と図-8(a)を比べてみると、後者に存在するピークはすべて前者に存在していないことがわかる。しかし、前者には、 0.5 Hz 以上にいくつか存在しているにちがわらず、後者には、それが現れていない。また、後者は先と同じく、 0.2 Hz 付近からのスペクトルレベルが急激に減少し $-5/3$ 乗則にあてはまらないが、

前者の方は 1 Hz 以下のままでそのレベルは減少せず $-5/3$ 乗に近い形のパワースペクトルが得られている。

以上のことより、CM-2型電気流速計は、約2秒以上の流速変動に対しては確実に追従できるが、それより短い周期の変動については疑わしいといえる。これは、プロペラの回電特性や、マグネットカップリングの時定数などによるものであると思われる。

4. LDVを用いた河川乱流計測の結果

次いで、フィールド用LDVを用いて行った実河川乱流の計測結果を示す。測定は幌向川において、前述のCM-2型電気流速計との比較と同じ観測システムを用い、低流速域であるよどみを避んで行なわれた。ここでの全木課は 31 cm ほどで、速度プロファイルを求めるために、河床から徐々に引き上げて測定した。

なお、データのサンプリングタイムは 50 msec である。

図-9は、その時得られた流速変動のデータである。図-10には、パワースペクトルを示してあるが、この図はスペクトルを比較しやすくなるため、 10^1 づつ上にずらして描いてある。なお、縦軸目盛は(12)に対応している。また、約50秒の平均流速値より求めた速度プロファイルを図-11に示してある。各図の(1)～(12)はそれぞれ表に示した木課に対応している。図-10を見ると、(1)には 2.5 Hz に鋭いスペクトルピークが存在しているが、木課と共に急激に減衰していることがわかる。このことは、図-9の(1)と(2)を比較しても明白である。これは、波長約 3.5 cm 、位相速度約 2.3 cm/sec の表面波によるものであると思われる。また、中木課の

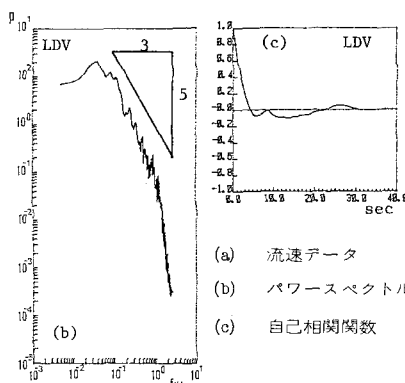
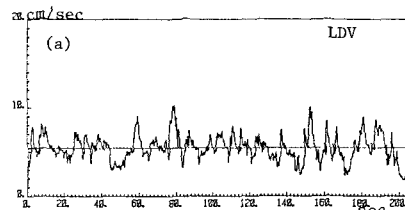


図-5 フィールド用LDV (低流速域)

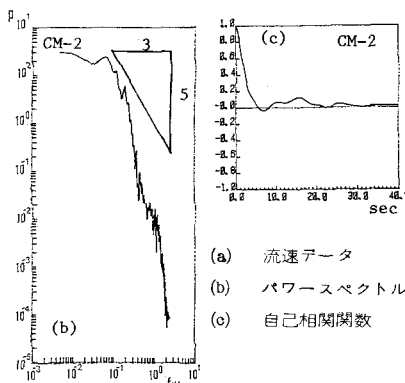
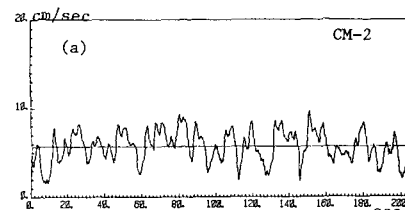


図-6 CM-2型電気流速計 (低流速域)

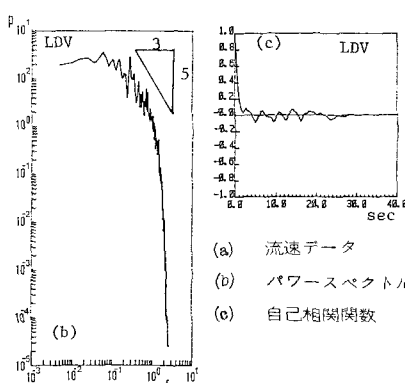
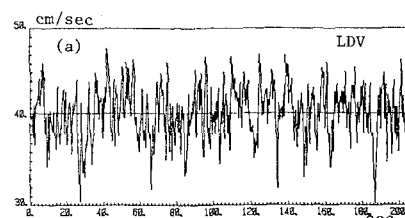


図-7 フィールド用LDV (高流速域)

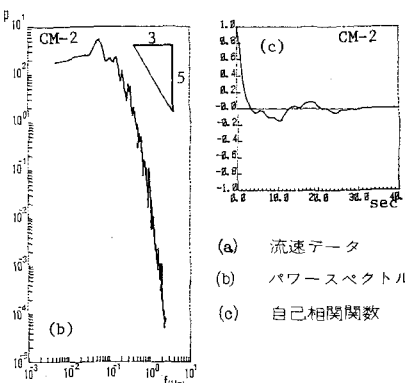
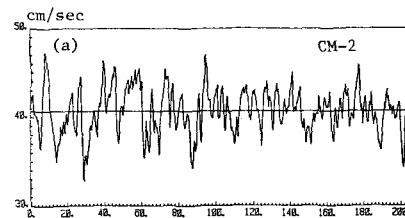


図-8 CM-2型電気流速計 (高流速域)

パワースペクトルには1 Hz付近にスペクトルピークがみられる。この1 Hz周期の流速変動は、おそらく普遍的な特徴ではなく、特有の河床形状に基づくものと考えられる。

図-11の速度プロファイルを見ると、中水深では平均流速はほぼ一定であることがわかる。また、河床近傍と表面近傍には、速度勾配が存在し、この時の流れ場を特徴づけている。ただし、この地点での計測はよどみで

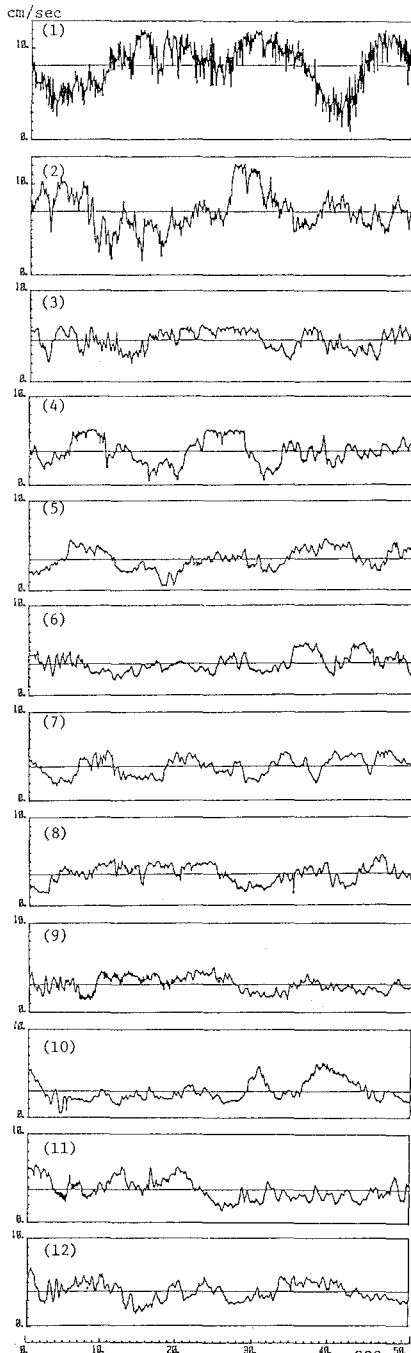


図-9 流速データ

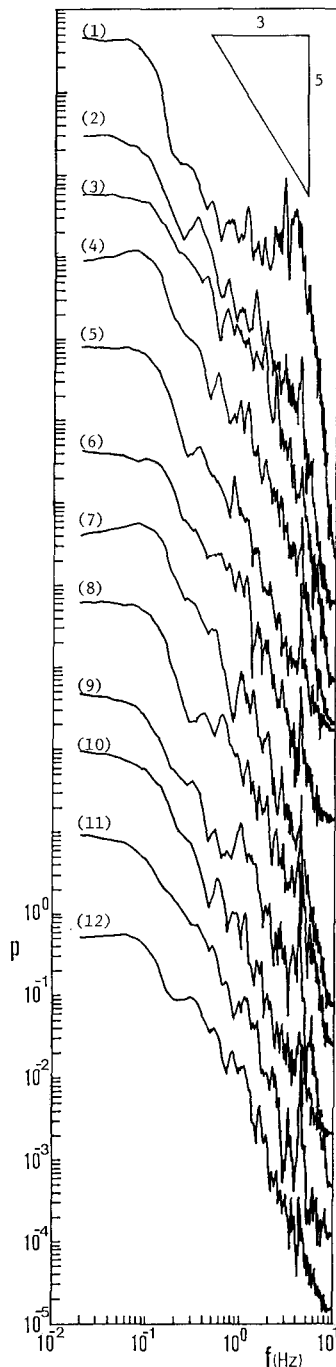


図-10 パワースペクトル

行なわれておらず、一般的な河川乱流を特徴づけているとはいえず、その乱流構造は本測定で得られた結果とは異なることが予想される。

今回は、フォトダイオードのアンプのゲイン特性により、ドップラー信号が70 kHz以上となる流速(約60 cm/sec以上)については測定できないので、主流の乱流構造の解明にまでは到らせず、低流速域での測定に留まっている。

以上述べて来たように、フ

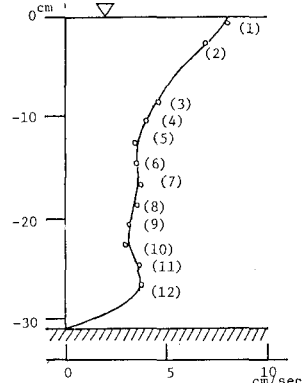


図-11 速度プロファイル

表面下水深

(1)	0.5 cm
(2)	2.5 cm
(3)	8.5 cm
(4)	10.5 cm
(5)	12.5 cm
(6)	14.5 cm
(7)	16.5 cm
(8)	18.5 cm
(9)	20.5 cm
(10)	22.5 cm
(11)	24.5 cm
(12)	26.5 cm

表

フィールド用 LDV によって、河川乱流における流速変動には、0.4 級程度の短周期のものから、数 10 秒の長周期のものまで存在していることが確認された。在来型の流速計では、この短周期の流速変動を捕えることができず、河川乱流の周期特性の解明にはかなりの制限があった。しかし、これらの制約を持たない本 LDV は河川乱流計測へのアプローチとして有力な手段であるといえよう。

5. 考察

今まで、CM-2 型電気流速計の周波数特性について論文は少なく、森³⁾によって石狩川、空知川の河川乱流のスペクトル解析が行なわれている程度である。それは、プロペラ式流速計の周波数特性が、プロペラの形状、数、慣性モーメント等に依存しており、また、測定点が有限の大きさであるため理論的にその特性を求めることが困難なためと考えられる。今回、LDV との比較により、その周波数特性についてある程度言及できる。図-7、図-8 より後者は、0.1 Hz より高い周波数ではそのレベルが急激に減じており、1 Hz 付近のピークの分離度は前者よりかなり劣っている。そのため、測定限界は 0.1 ~ 0.5 Hz で、それ以上の変動は平均化されてしまう。これは、前者が -5/3 乗則に従っていながらも、後者は -5/3 乗則に従っていないことからわかる。しかし、0.5 Hz 以下の長周期の変動に対しては LDV と同程度の出力が得られており、信頼できるものである。

LDV 出力の誤差は、幾何光学的算出誤差と周辺機器の持つ誤差に大別できるが、それを総括して最終的な誤差を見積ると約 6% になる。ただし、この誤差は LDV で得られた流速値と真の流速値とのずれを表わし、流速によらず常に一定である。

6. おわりに

河川乱流は、一般に壁乱流構造やその剪断流場で発生する縦渦による大規模渦構造、流路形状の影響や風波、吹送流により生ずる乱流構造などの様々な乱流場が重なっており、非常に複雑な乱流構造を持っている。そのため、流速変動についてもその周波数成分は、低周波数域から高周波数域にわたって存在している。特に高周波数域の測定については、在来型の流速計では信頼度の高いデータは得られておらず、今後の LDV による計測に期待するところが多く残っている。

すでに述べてきたように、半導体レーザを用いた LDV プローブは技術的には確立されたといえる。しかし、オートフィルターの周波数選定範囲をフィールド観測に適したものにする必要があり、また、フォトダイオードのアンプのゲイン特性の改良、さらには周辺機器の小型化など解決すべき点はいくつか残っていることも事実であり、今後の研究課題として取り組んで行きたい。

参考文献

- 1) 吉田静男・溝沢巨彦・八木史郎：LDV プローブを用いた河口部における水流計測、土木学会北海道支部論文報告集、No. 40, pp. 151 ~ 156, 1984
- 2) 1) に同じ
- 3) 森 明臣：プロペラ流速計の周波数特性と自然河川での乱れの測定、水理委員会「水理観測における規模の評価」研究小委員会構成、pp. 12 ~ 18, 1981
- 4) 吉田静男・田城徹雄・溝沢巨彦：LDV プローブを用いた河川乱流計測、第 2 回流れの計測大阪シンポジウム、pp. 63 ~ 70, 1984
- 5) 川田裕郎・小宮勤一・山崎弘郎：流量計測ハンドブック、日刊工業新聞社、1979